

## Inhaltsverzeichnis

1. Datei:Source-Coupling-Receiver.jpg .....	4
2. Benutzer:OE1MHZ .....	3
3. Kategorie:EMV .....	5

## Datei:Source-Coupling-Receiver.jpg

**Aktuelle Version vom 20. März 2021, 19:21 Uhr (Quelltext anzeigen)**

[OE1MHZ](#) ([Diskussion](#) | [Beiträge](#))

(kein Unterschied)

---

### Aktuelle Version vom 20. März 2021, 19:21 Uhr

---

Quelle-Kopplungsweg-Empfänger

### Dateiversionen

---

Klicken Sie auf einen Zeitpunkt, um diese Version zu laden.

	Version vom	Vorschaubild	Maße	Benutzer	Kommentar
aktuell	<a href="#">19:21, 20. Mär. 2021</a>		1.104 × 221 (30 KB)	<a href="#">OE1MHZ</a> ( <a href="#">Diskussion</a>   <a href="#">Beiträge</a> )	

Sie können diese Datei nicht überschreiben.

### Dateiverwendung

---

Die folgende Seite verwendet diese Datei:

- [Kategorie:EMV](#)

## Datei:Source-Coupling-Receiver.jpg: Unterschied zwischen den Versionen

**Aktuelle Version vom 20. März 2021, 19:21 Uhr (Quelltext anzeigen)**

[OE1MHZ](#) ([Diskussion](#) | [Beiträge](#))

(kein Unterschied)

---

### Aktuelle Version vom 20. März 2021, 19:21 Uhr

Quelle-Kopplungsweg-Empfänger

## Datei:Source-Coupling-Receiver.jpg: Unterschied zwischen den Versionen

**Aktuelle Version vom 20. März 2021, 19:21 Uhr (Quelltext anzeigen)**

[OE1MHZ](#) ([Diskussion](#) | [Beiträge](#))

(kein Unterschied)

### Aktuelle Version vom 20. März 2021, 19:21 Uhr

Quelle-Kopplungsweg-Empfänger

### Dateiversionen

Klicken Sie auf einen Zeitpunkt, um diese Version zu laden.

	Version vom	Vorschaubild	Maße	Benutzer	Kommentar
aktuell	<a href="#">19:21, 20. Mär. 2021</a>		1.104 × 221 (30 KB)	<a href="#">OE1MHZ</a> ( <a href="#">Diskussion</a>   <a href="#">Beiträge</a> )	

Sie können diese Datei nicht überschreiben.

### Dateiverwendung

Die folgende Seite verwendet diese Datei:

- [Kategorie:EMV](#)

---

## Datei:Source-Coupling-Receiver.jpg: Unterschied zwischen den Versionen

**Aktuelle Version vom 20. März 2021, 19:21 Uhr (Quelltext anzeigen)**

[OE1MHZ](#) ([Diskussion](#) | [Beiträge](#))

(kein Unterschied)

---

### Aktuelle Version vom 20. März 2021, 19:21 Uhr

---

Quelle-Kopplungsweg-Empfänger

### Unterkategorien

---

Diese Kategorie enthält nur die folgende Unterkategorie:

#### E

- [EMV/Normenarbeit \(IARU\)](#) (leer)

### Seiten in der Kategorie „EMV“

---

Folgende 10 Seiten sind in dieser Kategorie, von 10 insgesamt.

#### C

- [CISPR Guide 2019](#)

#### E

- [Elektromagnetische Umweltverträglichkeit](#)
- [ENAMS](#)
- [ENAMS Auswertungen Heatmaps](#)
- [ENAMS Auswertungen Noise Floor](#)
- [ENAMS Auswertungen Spektren](#)

#### F

- [Fallstudie TV Box: Declaration of Conformity](#)

#### S

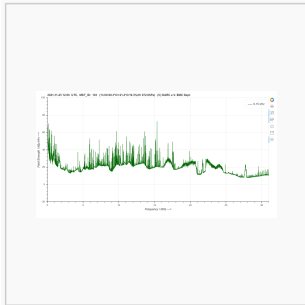
- [Smart Meter](#)
- [Störungen durch PLC \(Powerline Communications\)](#)

#### W

- [WPT-EV](#)

## Medien in der Kategorie „EMV“

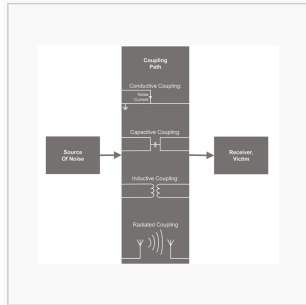
Folgende 12 Dateien sind in dieser Kategorie, von 12 insgesamt.



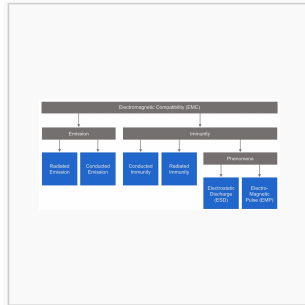
[2021-11-25 1200 UTC Spectrum 0-30MHZ.png](#) 3.323 × 1.746; 379 KB

Table A.2 - Parameters for CENELEC-A testpilot		
Parameter	Value	Note
Carrier	15000 Hz	Lower frequency of CENELEC-A testpilot (reference carrier 15000 Hz)
Rate	9600 Baud	Higher frequency of CENELEC-A testpilot (reference carrier 9600 Baud)
Parameter mask reference value	0 to 22 dB to 127	Class 0 A.2.1 of (EN) IEC 61000-4

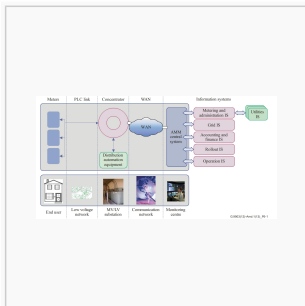
[CENELEC-A.jpg](#) 1.328 × 374; 160 KB



[Coupling Path.jpg](#) 951 × 861; 73 KB



[EMC Overview.jpg](#) 1.142 × 528; 115 KB



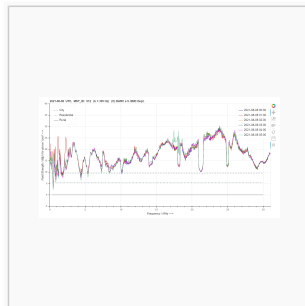
[G3-PLC Network Architecture.jpg](#) 1.329 × 679; 266 KB

Comparison of PLC G3 and PRIME

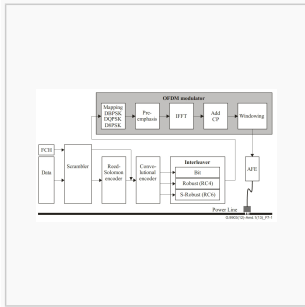
[isplc 2011 hoch.pdf](#) 1.239 × 1.754, 5 Seiten; 322 KB

- SERIES OF ITC11 RECOMMENDATIONS
- ITC11-1: Significance of the work with ITC
  - ITC11-2: Self-healing mechanisms and operational characteristics of T-connections and ITCs
  - ITC11-3: Circuit model, dynamic, stability issues, and operational limits
  - ITC11-4: Non-linear operational characteristics
  - ITC11-5: Resonance effects and steady-state, sub-harmonic and sub-cycle
  - ITC11-6: Harmonic and inter-harmonic issues
  - ITC11-7: Regulated circuit design issues
  - ITC11-8: Self-healing mechanisms and operational characteristics of T-connections and ITCs
  - ITC11-9: Self-healing mechanisms
  - ITC11-10: Self-healing mechanisms and operational characteristics of T-connections and ITCs
  - ITC11-11: Self-healing mechanisms and operational characteristics of T-connections and ITCs
  - ITC11-12: Self-healing mechanisms and operational characteristics of T-connections and ITCs
  - ITC11-13: Self-healing mechanisms and operational characteristics of T-connections and ITCs
  - ITC11-14: Self-healing mechanisms and operational characteristics of T-connections and ITCs
  - ITC11-15: Self-healing mechanisms and operational characteristics of T-connections and ITCs
  - ITC11-16: Self-healing mechanisms and operational characteristics of T-connections and ITCs
  - ITC11-17: Self-healing mechanisms and operational characteristics of T-connections and ITCs
  - ITC11-18: Self-healing mechanisms and operational characteristics of T-connections and ITCs
  - ITC11-19: Self-healing mechanisms and operational characteristics of T-connections and ITCs
  - ITC11-20: Self-healing mechanisms and operational characteristics of T-connections and ITCs

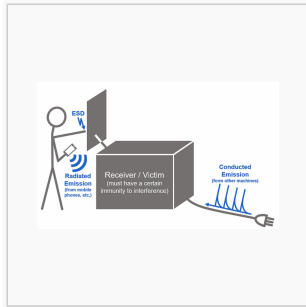
[ITU T.jpg](#) 522 × 677; 172 KB



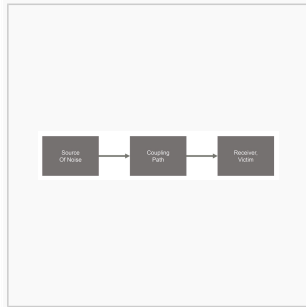
[Noise Floor.jpg](#) 1.679 × 845; 308 KB



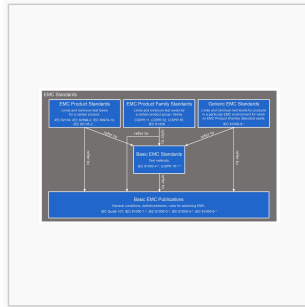
[OFDM Transceiver.jpg](#) 1.061 × 580; 131 KB



[Receiver-Victim.jpg](#) 1.201 × 731; 158 KB



[Source-Coupling-Receiver.jpg](#) 1.104 × 221; 30 KB



[Standards.jpg](#) 1.248 × 697; 249 KB